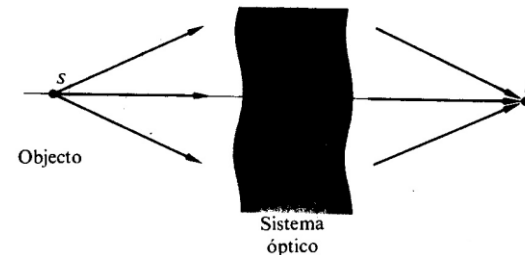
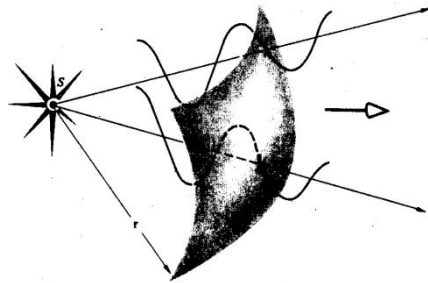


## 4. Propagação da Radiação Eletromagnética

Considere-se uma fonte luminosa (S). A fonte emite ondas sinusoidais em todas as direções. As **frentes de onda** são superfícies que unem pontos em que a fase da perturbação ótica (da onda) é constante. **Os raios luminosos são perpendiculares às frentes de onda; são, portanto, linhas paralelas ao vetor de propagação ou vetor de onda.** “Logo” os raios luminosos divergem a partir de uma fonte pontual.



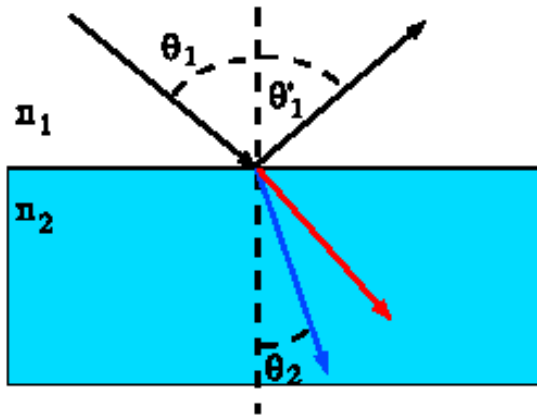
Após a passagem por um **sistema ótico** (superfície refletora e refratora) os raios luminosos “convergem” para um “ponto” (P). Se toda a radiação que diverge de (S) e passa pelo sistema ótico “convergir” em (P) estamos perante um **sistema ótico estigmático perfeito ou ideal**. Os pontos (S) e (P) são conjugados, ficando um no chamado espaço objecto e o outro no espaço imagem. Devido ao princípio da reversibilidade se a fonte estiver em (P) a imagem é o ponto (S).

# ÓTICA ONDULATÓRIA

## 4. Propagação da Radiação Eletromagnética

O conceito de **raio luminoso** é fundamental em ótica geométrica.

O princípio de Fermat (**princípio do tempo mínimo**) permite deduzir as **leis da reflexão e da refração (Lei de Snell)**



**Lei da Reflexão** – ângulo de incidência igual ao ângulo de reflexão  $\theta_1 = \theta'_1$  (1)

**Lei da refração (Lei de Snell)** –  $n_1 \sin \theta_1 = n_2 \sin \theta_2$  (2)

**Muita atenção à definição de ângulo de incidência, de reflexão e de refração.**

**Índice de refração:** razão entre a velocidade de propagação da radiação no vácuo e no interior de um dado material. Pela definição, **n é sempre maior que 1**.

$$n(\lambda) = \frac{c}{v(\lambda)}$$

(3)

A velocidade de propagação de uma dada radiação num dado meio é uma característica dessa radiação. Ou seja, radiação com c.d.o. diferente terá uma velocidade de propagação, no mesmo meio, diferente.

O facto de **n ser função de  $\lambda$**  dá origem à **dispersão**. A dispersão obriga a uma visão atomística da matéria (ver slides 41 e 42).

# ÓTICA ONDULATÓRIA

## 4. Propagação da Radiação Eletromagnética

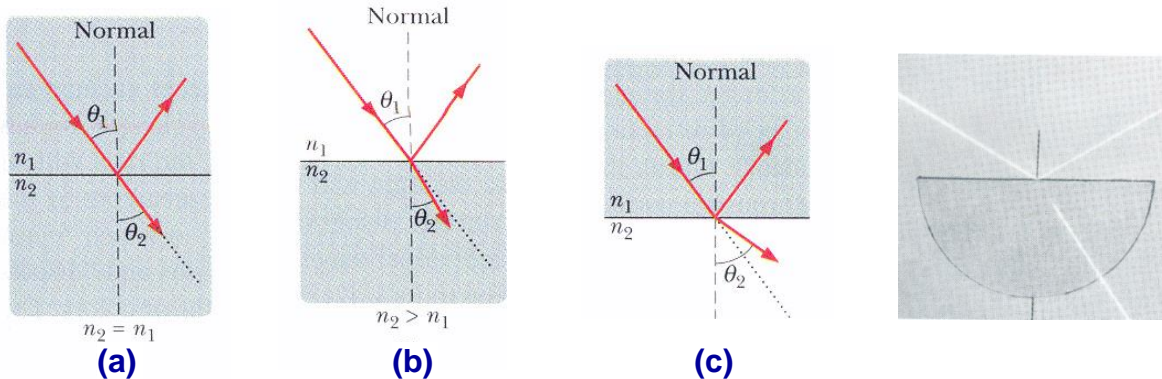
Relacionado com o princípio de Fermat, ou do tempo mínimo, pode-se definir um conceito muito importante em ótica – **Percurso Ótico,  $\Delta = nd$** .

O tempo  $t$  que uma dada radiação demora a atravessar a distância  $d$ , é dado por

$$t = \frac{d}{v} = \frac{nd}{c} = \frac{\Delta}{c}$$

Como se vê  $\Delta = nd$  e representa o espaço que a radiação percorreria, no mesmo tempo, se se propagasse à velocidade  $c$ .

Vamos analisar algumas situações decorrentes da Lei de Snell



A situação trivial é a de um raio que incide segundo a normal à superfície em que

$$\theta_i = \theta' = \theta_t = 0$$

Quando a radiação passa dum meio com  $n$  maior para outro com  $n$  inferior, o feixe refratado **afasta-se da normal**. Existe um valor para o ângulo de incidência, para o qual o feixe refratado faz um ângulo de  $90^\circ$  com a normal. A partir desse valor de ângulo de incidência, chamado **ângulo crítico**, deixa de existir feixe refratado. Dá-se a chamada **Reflexão Interna Total (RIT)**

$$n_1 \sin \theta_c = n_2 \sin 90^\circ$$

$$\theta_c = \sin^{-1} (n_2/n_1) \quad (4)$$

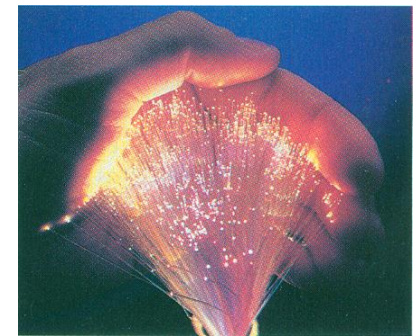
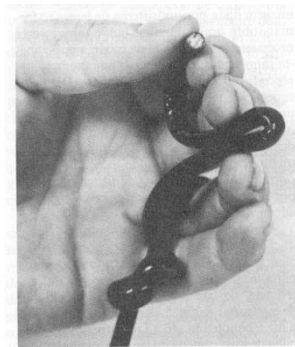
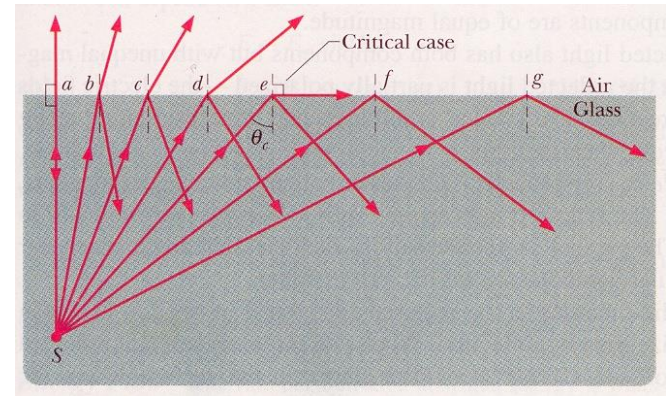
# ÓTICA ONDULATÓRIA

## 4. Propagação da Radiação Eletromagnética

Para uma interface vidro/ar,  $\theta_c \sim 42^\circ$ .

Verifica-se experimentalmente (e vamos ver de seguida pelas equações de Fresnel) que a repartição da intensidade luminosa entre os feixes refletidos e refratados depende da relação entre os dois índices de refração, mas também do ângulo de incidência  $\theta_1$ .

À medida que  $\theta_1$  aumenta, aumenta a intensidade do feixe refletido e diminui a do feixe refratado. Para a situação de RIT,  $\theta_1 = \theta' = \theta_c$ ,  $\theta_2 = 90^\circ$ , deixa de haver feixe refratado e a intensidade do feixe incidente é igual à intensidade do feixe refletido.

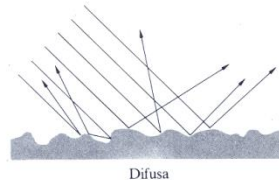
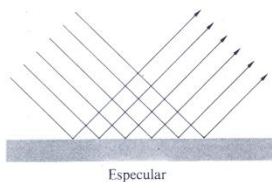
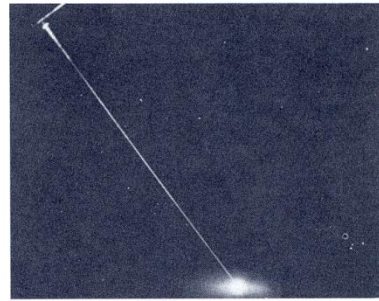
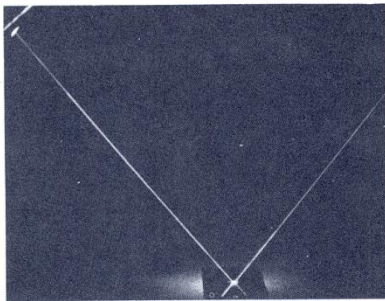


A RIT é o princípio geral de funcionamento das fibras óticas que têm inúmeras aplicações tecnológicas: medicina, transmissão de dados, comunicações. Permitem levar a luz entre dois pontos, mesmo às curvas, praticamente sem perdas.

# ÓTICA ONDULATÓRIA

## 4. Propagação da Radiação Eletromagnética

**Reflexão Especular vs Reflexão Difusa** – Pode parecer que a Lei da Reflexão contraria o nosso conhecimento experimental do dia-a-dia. Como se sabe, quando um feixe de luz incide numa folha de papel ou numa parede branca, ele é totalmente refletido (se a parede é branca não absorve nenhuma componente do espectro visível). No entanto a situação é completamente diferente da que se observa se o mesmo feixe incidir num espelho... e for também totalmente refletido. A única diferença entre o papel ou a parede e o espelho está na superfície. **A superfície do espelho é lisa** (irregularidades superficiais muito inferiores ao c.d.o.) **e dá por isso origem à reflexão especular**, enquanto que **a superfície do papel ou da parede é rugosa e origina uma reflexão difusa**.



A nível local, microscópico, toda a reflexão verifica a lei  $\theta_1 = \theta'$ , mas a nível macroscópico a grande maioria dos materiais que nos rodeiam são total ou parcialmente difusores.

■ **Quanto menos difusora for uma superfície, maior é o seu brilho.**



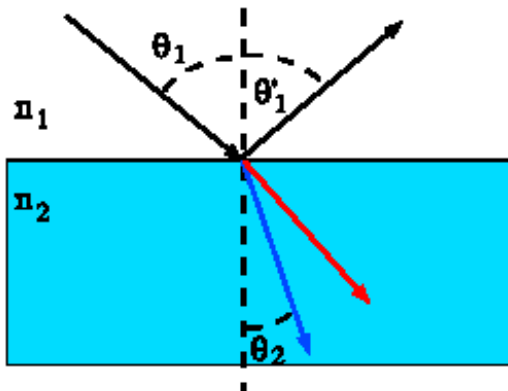
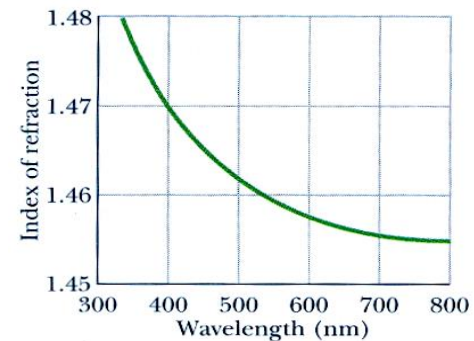
# ÓTICA ONDULATÓRIA

## 4. Propagação da Radiação Eletromagnética

Como já se disse, o facto de  $n$  ser função de  $\lambda$  dá origem à **dispersão** (ver slides 41 e 42 do capítulo anterior)

Normalmente  $n$  diminui quando  $\lambda$  aumenta, como se mostra na figura junta.

Consideremos que a luz incidente é um feixe de luz branca. O feixe refletido será também luz branca. Relativamente à radiação refratada, consideremos a situação habitual em que a radiação passa do ar para o vidro.



De acordo com a Lei de Snell,  $\theta_2 < \theta_1$ .

Mas, como a radiação vermelha tem maior c.d.o. que a azul, terá menor  $n$  e então  $n_v < n_A$  e  $\theta_{2,v} > \theta_{2,A}$  e assim **o feixe azul será mais desviado do que o vermelho**, como se vê na figura.

Define-se **potência dispersiva** de um dado material pela relação 
$$\frac{n_{Azul} - n_{Verm}}{n_{Amar} - 1}$$

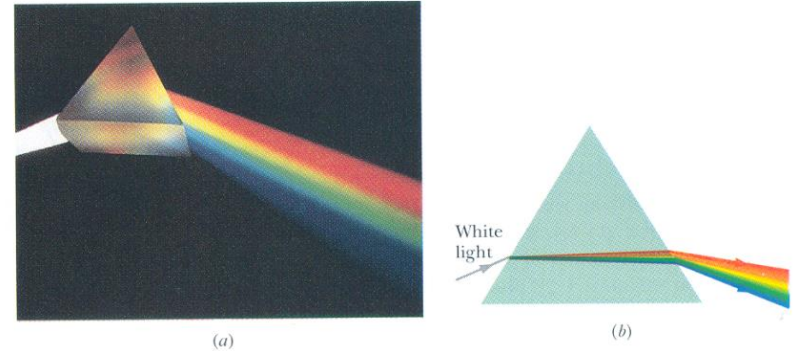
O inverso da potência dispersiva é o chamado **índice de dispersão** (numero de Abbe)

# ÓTICA ONDULATÓRIA

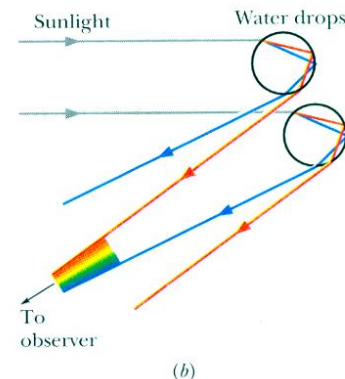
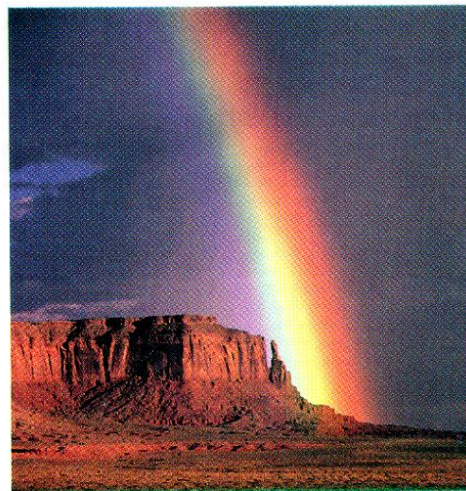
## 4. Propagação da Radiação Eletromagnética

Uma das funções dos **prismas** é dispersar **a luz**.

Como se vê na figura a dispersão que ocorre na primeira interface é aumentada depois na segunda e consegue-se assim uma maior separação cromática.



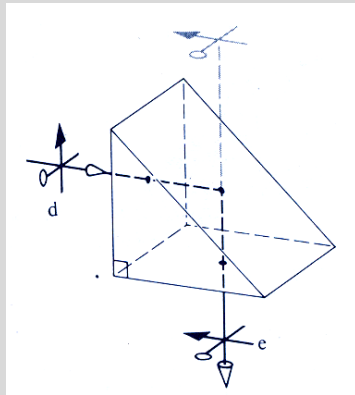
O mais belo exemplo de dispersão da luz na natureza é sem dúvida o **arco-íris**. Quando está a “chover e a fazer sol” alguma luz branca do Sol, interceptada por gotas de chuva, pode ser dispersa pelas gotas. A luz sofre depois uma RIT dentro das gotas e é de novo refratada, saindo da gota e podendo chegar ao observador... O ângulo entre a linha do Sol e o observador é de cerca de  $42^\circ$ .



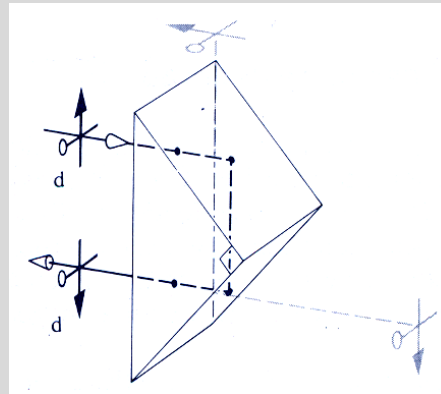
# ÓTICA ONDULATÓRIA

## 4. Propagação da Radiação Eletromagnética

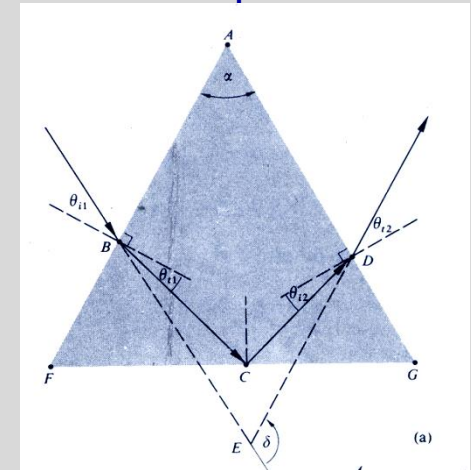
Os **prismas**, para além de **elementos de dispersão**, podem ter muitas outras aplicações como **divisores de feixe e polarizadores**, no entanto a sua utilização mais habitual é a de **encaminhamento e desvio da luz**. São os chamados **prismas de reflexão**. O que se pretende é alterar a direção de propagação da luz, através de pelo menos uma RIT, **sem que ocorra dispersão**. Mostram-se três exemplos



(a) Prisma de ângulo recto



(b) Prisma de Porro



(c) Prisma de reflexão

Em (a) e (b) só há **refrações para  $\theta_i = 0$  e RIT**, logo **não há dispersão**.

Em (c), pode-se mostrar que, devido à RIT no lado FG, o ângulo de desvio  $\delta$  é independente de  $n$  e portanto também **não há dispersão**,  $\delta = 2 \theta_{i1} + \alpha$



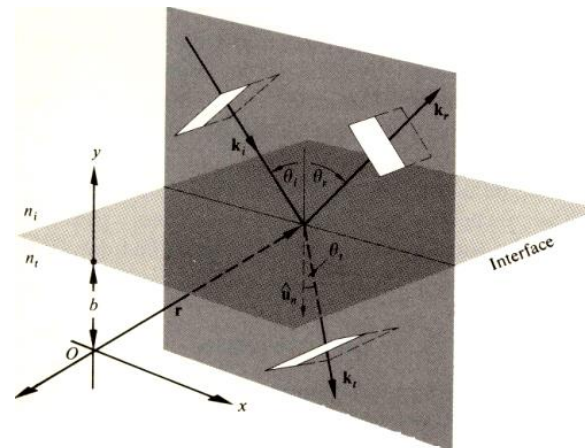
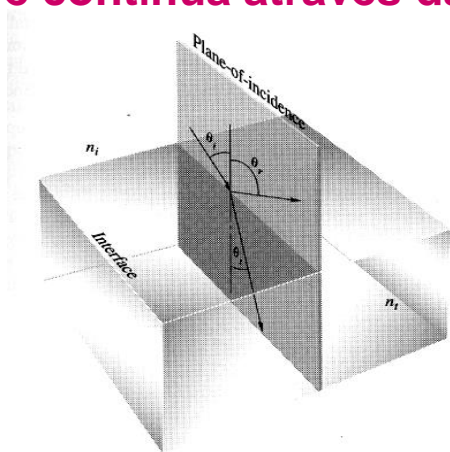
# ÓTICA ONDULATÓRIA

## 4. Propagação da Radiação Eletromagnética – condições fronteira

As leis do eletromagnetismo, **Equações de Maxwell**, “obrigam” os campos elétrico e magnético a certos constrangimentos, designados por **condições fronteira, quando passam através de interfaces**. Embora não seja imediato ver estas condições a partir das equações de Maxwell, temos de as conhecer e aplicar ao estudo da propagação da REM. **As condições fronteira são duas:**

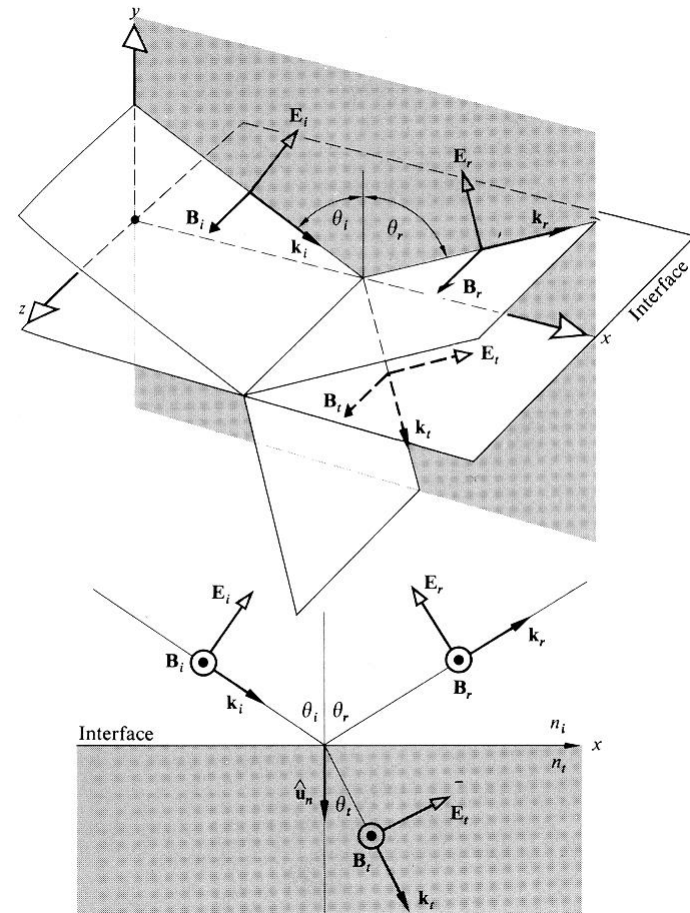
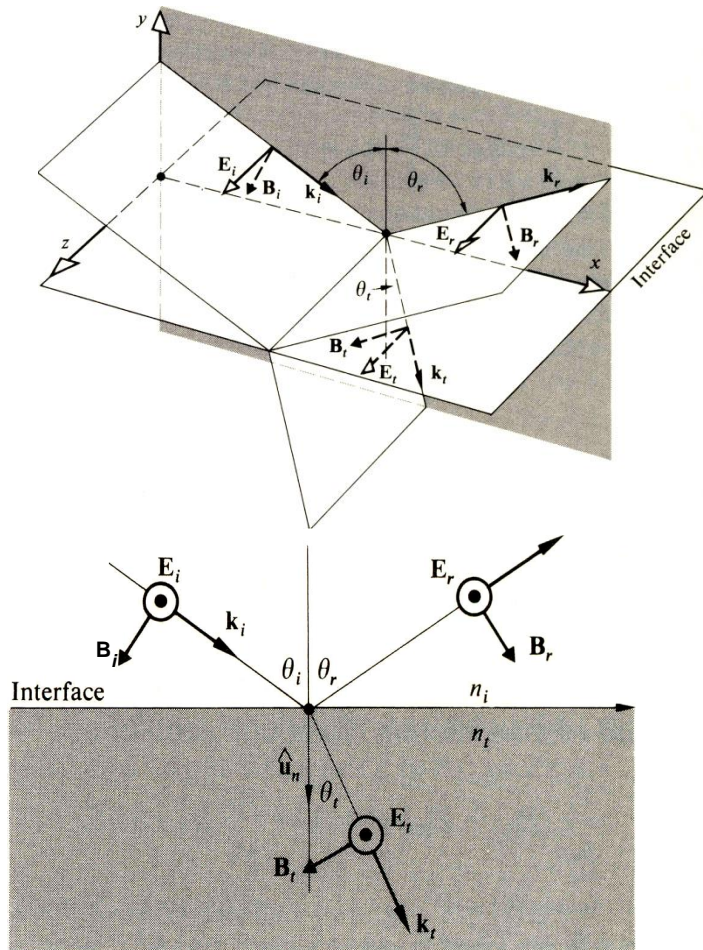
**CF1 - A componente paralela (tangente) à superfície de separação dos dois meios (interface) (perpendicular ao plano de incidência) quer do vetor campo eléctrico ( $\vec{E}$ ) quer do vetor  $\vec{H} = \vec{B}/\mu$  é contínua através da interface.**

**CF2 - A componente perpendicular à superfície de separação dos dois meios (interface) (paralela ao plano de incidência) quer do vetor  $\vec{B}$  quer do vetor  $\varepsilon \vec{E}$  é contínua através da interface.**



# ÓTICA ONDULATÓRIA

## 4. Propagação da Radiação Eletromagnética – condições fronteira



# ÓTICA ONDULATÓRIA

## 4. Propagação da Radiação Eletromagnética – Equações de Fresnel

Vejamos agora quais as relações entre as amplitudes  $\vec{E}_{0i}$ ,  $\vec{E}_{0r}$  e  $\vec{E}_{0t}$

Consideremos uma onda plana monocromática que incide na superfície de separação de dois meios (interface). Vamos considerar dois casos:

a)  $\vec{E}$  perpendicular ao plano de incidência

b)  $\vec{E}$  paralelo ao plano de incidência

a)  $\vec{E}$  perpendicular ao plano de incidência (ou seja paralelo à interface) ( $E_{0i} \perp$ )

Esta condição implica que  $\vec{B}$  seja **paralelo** ao plano de incidência e então  $\hat{k} \times \vec{E} = v\vec{B}$

$$\hat{k} \cdot \vec{E} = 0$$

Na interface, uma vez que as componentes de  $\vec{E}$  tangentes à interface de são iguais de um lado e de outro (CF1), temos então, em qualquer instante e em qualquer ponto:

$$\vec{E}_{0i} + \vec{E}_{0r} = \vec{E}_{0t} \quad (\text{eq.1})$$

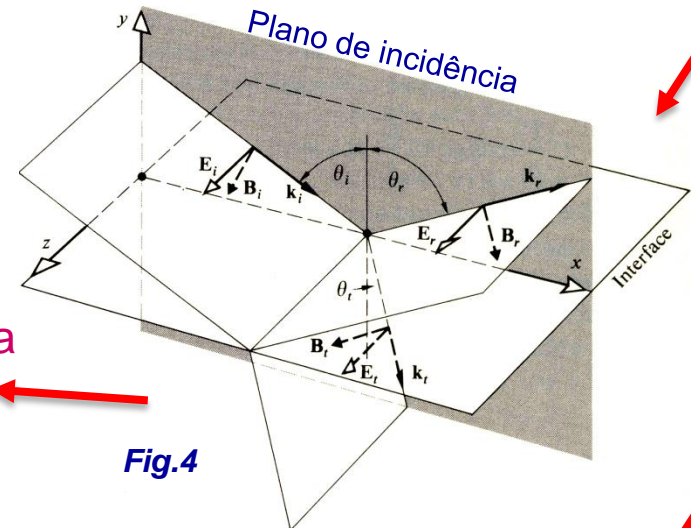
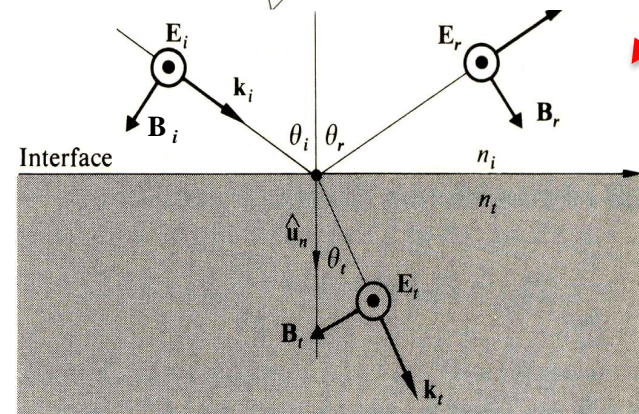


Fig.4



Onda incidente cujo campo elétrico  $\vec{E}$  é normal ao plano de incidência. ( $\otimes/\odot$  - vetor apontado para dentro/fora do plano do papel)

# ÓTICA ONDULATÓRIA

## 4. Propagação da Radiação Eletromagnética – Equações de Fresnel

Para aplicação das condições fronteira temos de considerar  $\vec{H} = \frac{\vec{B}}{\mu}$

A mesma condição de continuidade aplicada para o campo elétrico (CF1) exige também a continuidade das componentes tangenciais de  $\vec{H}$  sobre a interface.

$$-\frac{B_i}{\mu_i} \cos \theta_i + \frac{B_r}{\mu_r} \cos \theta_r = -\frac{B_t}{\mu_t} \cos \theta_t \quad (\text{eq.2})$$

mas,

$$B_i = \frac{E_i}{v_i}; \quad B_r = \frac{E_r}{v_r}; \quad B_t = \frac{E_t}{v_t}$$

sabe-se ainda que

$$v_i = v_r \quad (\text{mesmo meio})$$
$$\theta_i = \theta_r \quad (\text{lei da reflexão})$$

A eq.2 fica  $\rightarrow$

$$\frac{1}{\mu_i v_i} (E_i - E_r) \cos \theta_i = \frac{1}{\mu_t v_t} E_t \cos \theta_t \quad (\text{eq.2-a})$$

Então, na interface, fazendo  $t = 0$  e  $r = 0$ , podemos escrever:

$$\frac{n_i}{\mu_i} (E_{0i} - E_{0r}) \cos \theta_i = \frac{n_t}{\mu_t} E_{0t} \cos \theta_t \quad (\text{eq.2-b})$$

# ÓTICA ONDULATÓRIA

## 4. Propagação da Radiação Eletromagnética – Equações de Fresnel

Combinando (eq.2-b) com (eq.1) obtém-se :

$$\left( \frac{E_{0r}}{E_{0i}} \right)_{\perp} = \frac{\frac{n_i}{\mu_i} \cos \theta_i - \frac{n_t}{\mu_t} \cos \theta_t}{\frac{n_i}{\mu_i} \cos \theta_i + \frac{n_t}{\mu_t} \cos \theta_t} \quad \text{e} \quad \left( \frac{E_{0t}}{E_{0i}} \right)_{\perp} = \frac{2 \frac{n_i}{\mu_i} \cos \theta_i}{\frac{n_i}{\mu_i} \cos \theta_i + \frac{n_t}{\mu_t} \cos \theta_t}$$

$\perp$  -  $\vec{E}$  perpendicular ao plano de incidência

No caso dos dielétricos,  $\mu_i \approx \mu_t \approx \mu_0$  e então fica

Coeficiente de reflexão

$$r_{\perp} = \left( \frac{E_{0r}}{E_{0i}} \right)_{\perp} = \frac{n_i \cos \theta_i - n_t \cos \theta_t}{n_i \cos \theta_i + n_t \cos \theta_t}$$

**Eq. Fresnel 1 (F1)**

Coeficiente de transmissão

$$t_{\perp} = \left( \frac{E_{0t}}{E_{0i}} \right)_{\perp} = \frac{2 n_i \cos \theta_i}{n_i \cos \theta_i + n_t \cos \theta_t}$$

**Eq. Fresnel 2 (F2)**



### III – ÓTICA ONDULATÓRIA

#### 4. Propagação da Radiação Eletromagnética – Equações de Fresnel

b)  $\vec{E}$  paralelo ao plano de incidência ( $E_{oi} \parallel$ )

Logo  $\vec{B}$  é **perpendicular** ao plano de incidência e paralelo à interface e então

Aplicando de novo as condições fronteira, neste caso a **continuidade das componentes tangenciais de  $\vec{E}$  ao longo da interface**, pode-se escrever

$$E_{oi} \cos \theta_i - E_{or} \cos \theta_r = E_{ot} \cos \theta_t \quad (\text{eq.3})$$

A **continuidade de  $\vec{H}$  ao longo da interface** permite escrever

$$\frac{B_{0i}}{\mu_i} + \frac{B_{0r}}{\mu_r} = \frac{B_{0t}}{\mu_t} \quad \text{ou}$$

$$\frac{1}{\mu_i v_i} E_{oi} + \frac{1}{\mu_r v_r} E_{or} = \frac{1}{\mu_t v_t} E_{ot} \quad (\text{eq.4})$$

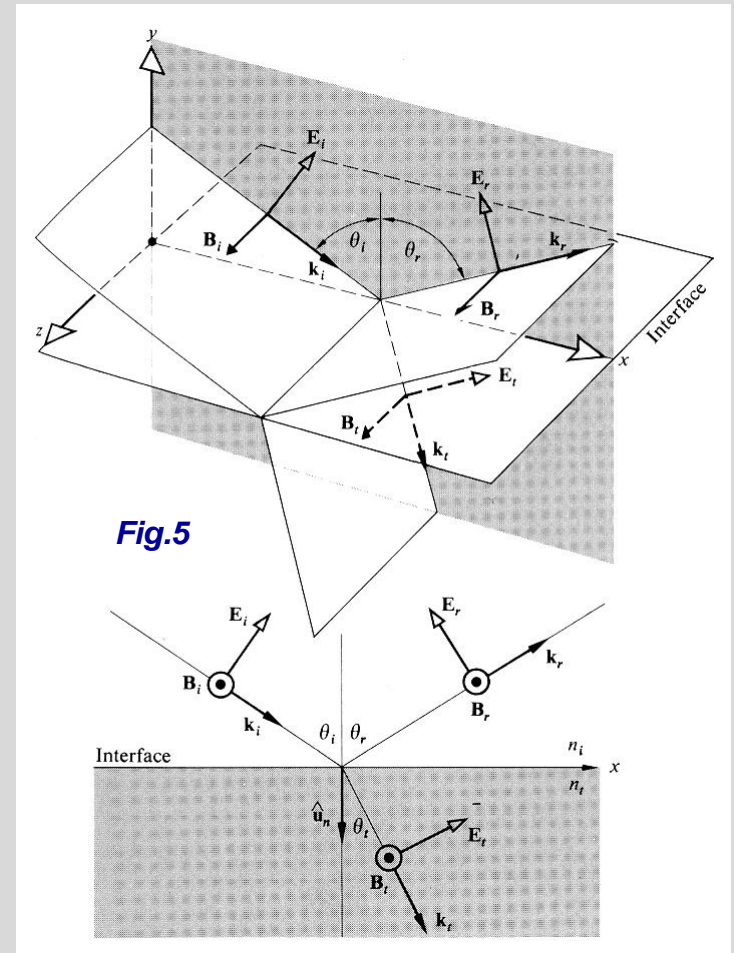


Fig.5

Onda incidente cujo campo elétrico  $\vec{E}$  é paralelo ao plano de incidência

# ÓTICA ONDULATÓRIA

## 4. Propagação da Radiação Eletromagnética – Equações de Fresnel

Rearranjando as relações (3) e (4) considerando  $v_i = v_r$ ,  $\theta_i = \theta_r$  e  $\mu_i = \mu_r$  tem-se  
(mesmo meio)

$$\left( \frac{E_{0r}}{E_{0i}} \right)_{\parallel} = \frac{\frac{n_t}{\mu_t} \cos \theta_i - \frac{n_i}{\mu_i} \cos \theta_t}{\frac{n_i}{\mu_i} \cos \theta_t + \frac{n_t}{\mu_t} \cos \theta_i} \quad \text{e} \quad \left( \frac{E_{0t}}{E_{0i}} \right)_{\parallel} = \frac{2 \frac{n_i}{\mu_i} \cos \theta_i}{\frac{n_i}{\mu_i} \cos \theta_t + \frac{n_t}{\mu_t} \cos \theta_i}$$

$\parallel$  - paralelo ao plano de incidência

No caso dos dielétricos,  $\mu_i \approx \mu_t \approx \mu_0$  e então fica

Coeficiente de reflexão

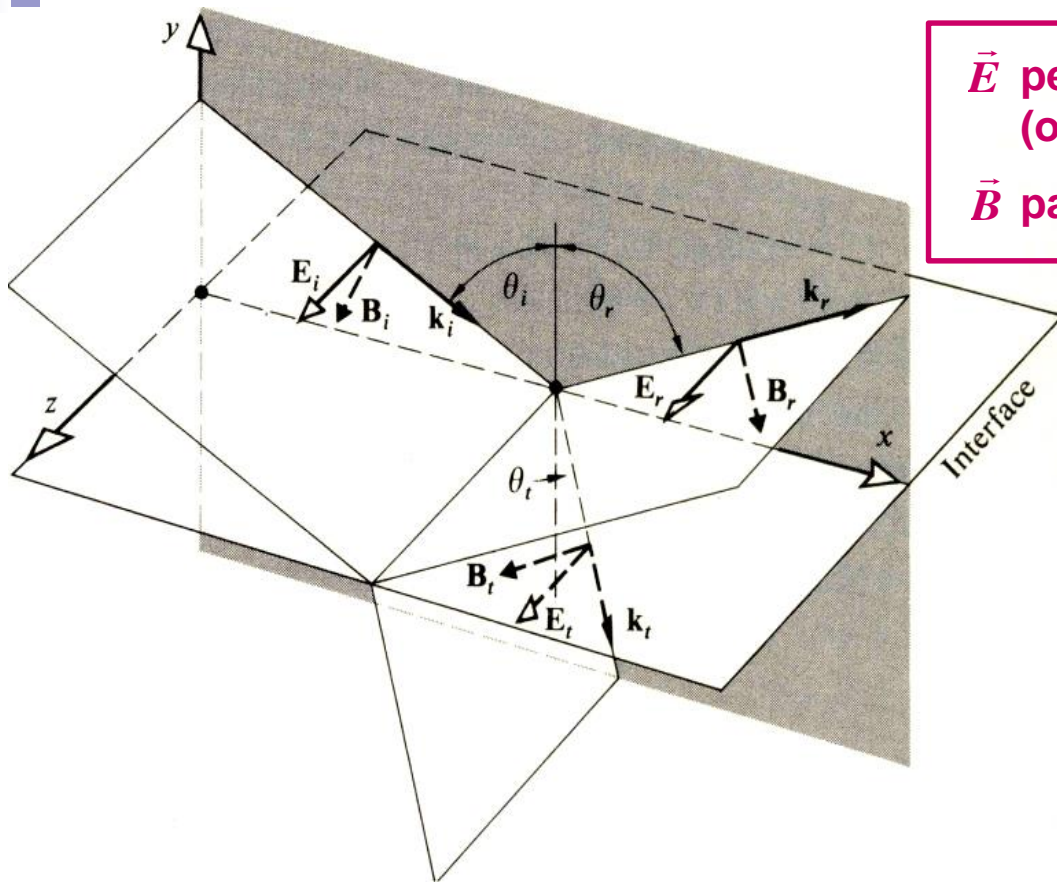
$$r_{\parallel} = \left( \frac{E_{0r}}{E_{0i}} \right)_{\parallel} = \frac{n_t \cos \theta_i - n_i \cos \theta_t}{n_i \cos \theta_t + n_t \cos \theta_i}$$

**Eq. Fresnel 3** (F3)

Coeficiente de transmissão

$$t_{\parallel} = \left( \frac{E_{0t}}{E_{0i}} \right)_{\parallel} = \frac{2 n_i \cos \theta_i}{n_i \cos \theta_t + n_t \cos \theta_i}$$

**Eq. Fresnel 4** (F4)



$\vec{E}$  perpendicular ao plano de incidência  
(ou seja paralelo à interface)

$\vec{B}$  paralelo ao plano de incidência

### Coeficiente de reflexão

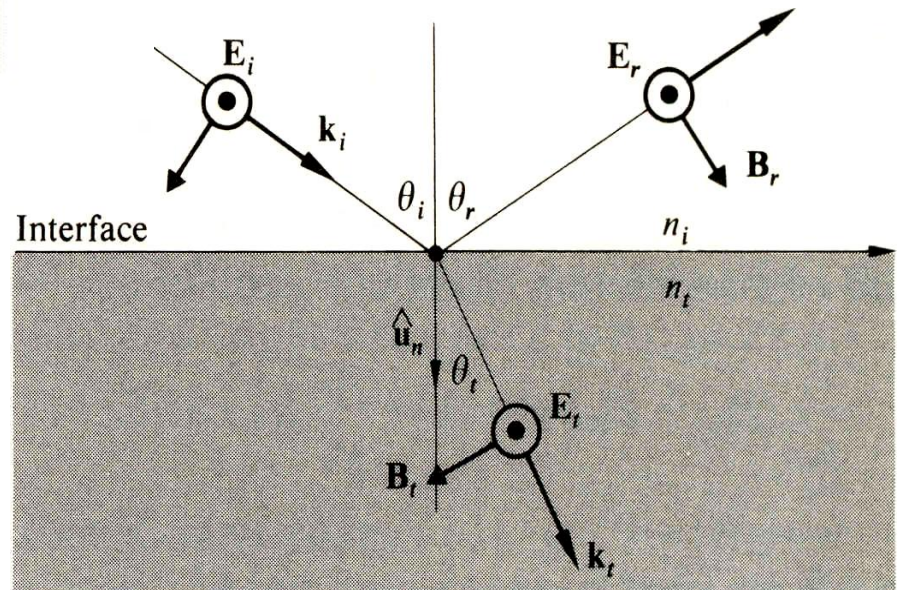
$$r_{\perp} = \left( \frac{E_{0r}}{E_{0i}} \right)_{\perp} = \frac{n_i \cos \theta_i - n_t \cos \theta_t}{n_i \cos \theta_i + n_t \cos \theta_t}$$

*Eq. Fresnel 1 (F1)*

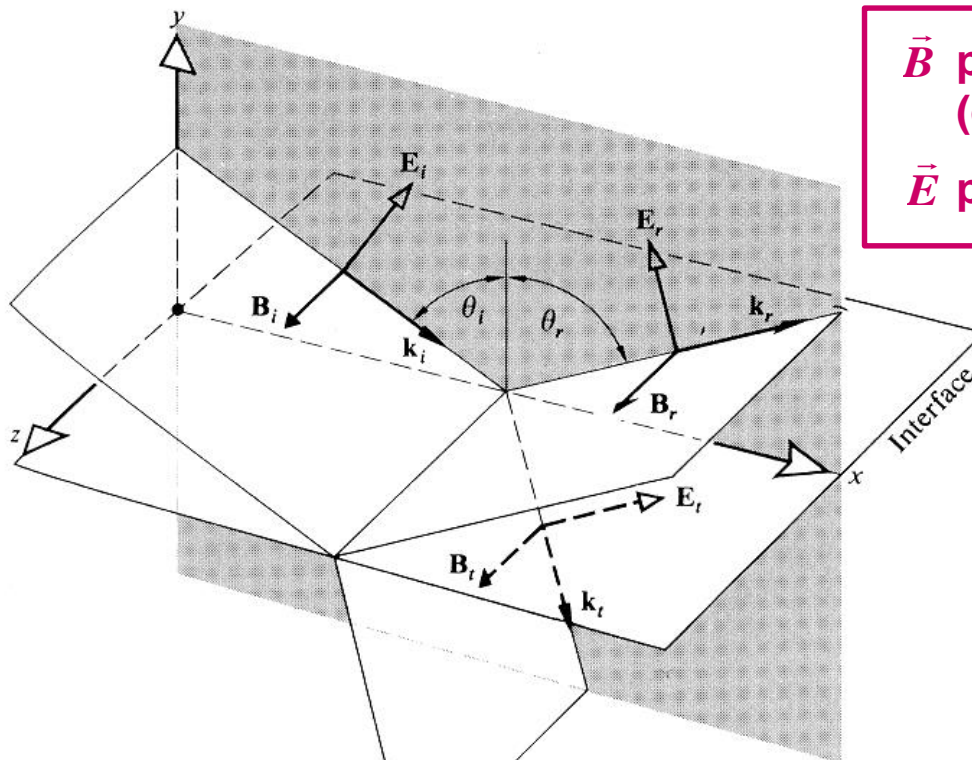
### Coeficiente de transmissão

$$t_{\perp} = \left( \frac{E_{0t}}{E_{0i}} \right)_{\perp} = \frac{2n_i \cos \theta_i}{n_i \cos \theta_i + n_t \cos \theta_t}$$

*Eq. Fresnel 2 (F2)*







$\vec{B}$  perpendicular ao plano de incidência  
(ou seja paralelo à interface)

$\vec{E}$  paralelo ao plano de incidência

### Coeficiente de reflexão

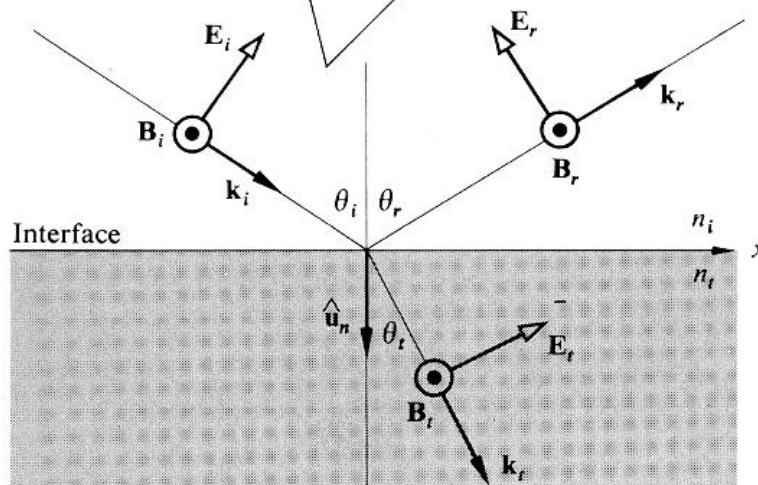
$$r_{\parallel} = \left( \frac{E_{0r}}{E_{0i}} \right)_{\parallel} = \frac{n_t \cos \theta_i - n_i \cos \theta_t}{n_i \cos \theta_t + n_t \cos \theta_i}$$

Eq. Fresnel 3 (F3)

### Coeficiente de transmissão

$$t_{\parallel} = \left( \frac{E_{0t}}{E_{0i}} \right)_{\parallel} = \frac{2n_i \cos \theta_i}{n_i \cos \theta_t + n_t \cos \theta_i}$$

Eq. Fresnel 4 (F4)



# ÓTICA ONDULATÓRIA

## 4. Propagação da Radiação Eletromagnética – Equações de Fresnel

Usando a lei de Snell  $n_i \text{ sen } \theta_i = n_t \text{ sen } \theta_t$  podemos dar às **Equações de Fresnel em meios dielétricos** uma forma ainda mais simples

$$r_{\perp} = - \frac{\text{sen } (\theta_i - \theta_t)}{\text{sen } (\theta_i + \theta_t)}$$

**Eq. Fresnel 1'** (F1')

$$t_{\perp} = \frac{2 \text{ sen } \theta_t \cos \theta_i}{\text{sen } (\theta_i + \theta_t)}$$

**Eq. Fresnel 2'** (F2')

$$r_{\parallel} = \frac{\text{tg } (\theta_i - \theta_t)}{\text{tg } (\theta_i + \theta_t)}$$

**Eq. Fresnel 3'** (F3')

$$t_{\parallel} = \frac{2 \text{ sen } \theta_t \cos \theta_i}{\text{sen } (\theta_i + \theta_t) \cos (\theta_i - \theta_t)}$$

**Eq. Fresnel 4'** (F4')

(Os sinais destes coeficientes dependem do sentido escolhido para o campo elétrico).

(A orientação de  $\vec{B}$  depende do sentido escolhido para  $\vec{E}$  )



# ÓTICA ONDULATÓRIA

## 4. Propagação da Radiação Eletromagnética – Equações de Fresnel

Tão importante como deduzir as equações de Fresnel, é **analisar as suas implicações** em termos de **amplitudes e densidades de fluxo** refletidas e refratadas e de **variações de fase associadas**.

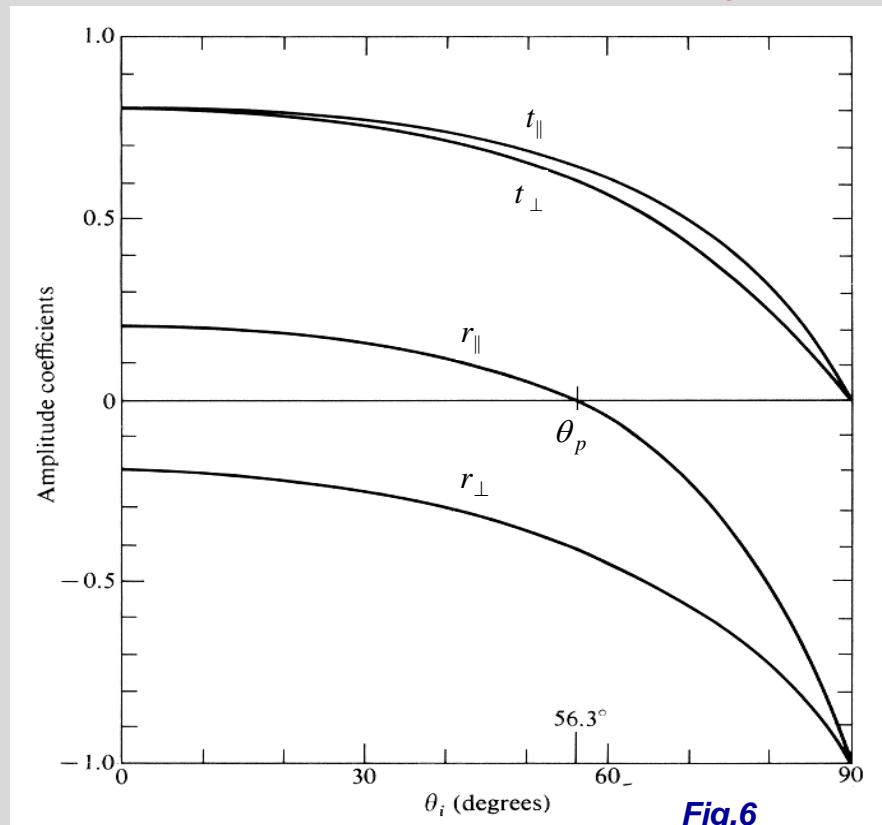
➤ **Análise dos coeficientes de reflexão e de transmissão em função de  $\theta_i$**

Podemos representar graficamente as relações  **$F_1$ ,  $F_2$ ,  $F_3$  e  $F_4$  e  $F_1'$ ,  $F_2'$ ,  $F_3'$  e  $F_4'$**  e verificar imediatamente que elas são equivalentes.

Estas representações fazem-se assumindo valores particulares para  $n_i$  e  $n_t$ .

**Na figura junta  $n_i=1$  e  $n_t=1.5$ , ou seja  $n_t > n_i$  e  $\theta_i > \theta_v$  tem-se então**

**REFLEXÃO EXTERNA**



**Fig.6**

# ÓTICA ONDULATÓRIA

## 4. Propagação da Radiação Eletromagnética – Equações de Fresnel

**Reflexão Externa – quando  $n_t > n_i$  ou seja  $\theta_i > \theta_t$**

Há várias relações fáceis de verificar pelas expressões F1, F2, F3, F4 ou F1', F2', F3' e F4'

$$r_{\parallel} = -r_{\perp} \text{ para } \theta_i = \theta_t = 0, \text{ (por F3' e F1')}$$

$$r_{\parallel} = -r_{\perp} = \frac{n_t - n_i}{n_t + n_i} \text{ para } \theta_i = \theta_t = 0, \text{ (por F3 e F1)}$$

$r_{\perp}$  é sempre negativo (por F1')

$r_{\parallel}$  é positivo para  $\theta_i=0$  (por F3), é zero para  $\theta_i + \theta_t = 90^\circ$  e é (-1) para  $\theta_i = 90^\circ$  (por F3')

$t_{\parallel}$  e  $t_{\perp}$  são sempre positivos (por F2 e F4 ou F2' e F4')

$t_{\parallel}$  e  $t_{\perp}$  são zero para  $\theta_i = 90^\circ$  (por F2' e F4')

$t_{\parallel}$  e  $t_{\perp}$  são zero para  $\theta_i = 90^\circ$  (por F2' e F4')

$$t_{\parallel} = t_{\perp} = \frac{2n_i}{n_t + n_i} \text{ para } \theta_i = \theta_t = 0, \text{ (por F4 e F2)}$$

$$t_{\parallel} + r_{\parallel} = 1 \text{ para } \theta_i = \theta_t = 0, \text{ (por F4 e F3)}$$

$$t_{\perp} + (-r_{\perp}) = 1 \text{ para qualquer } \theta_i \text{ (por F2 e F1)}$$

Ao valor de  $\theta_i$  para o qual  $r_{\parallel}$  é zero, chama-se **ângulo de polarização**.

# ÓTICA ONDULATÓRIA

## 4. Propagação da Radiação Eletromagnética – Equações de Fresnel

➤ Análise dos coeficientes de reflexão e de transmissão em função de  $\theta_i$

Reflexão Interna – quando  $n_t < n_i$  ou seja  $\theta_i < \theta_t$

Na figura junta  $n_i = 1.5$  e  $n_t = 1$  tem-se então **REFLEXÃO INTERNA**

Algumas relações fáceis de verificar pelas expressões F1, F2, F3, F4 ou F1', F2', F3' e F4'

$r_{\perp}$  é sempre positivo (por F1')

$r_{\perp}$  cresce até atingir o valor 1 quando  $\theta_t = 90^\circ$  (para  $\theta_i = 90^\circ$ ,  $\theta_i = \theta_c$ , ângulo crítico) (por F1')

$r_{\parallel}$  é negativo para  $\theta_i = 0$  (por F3), aumenta e atinge o valor +1 para  $\theta_i = \theta_c$  (por F3')

Ao valor de  $\theta_i$  para o qual  $r_{\parallel}$  é 0, chama-se **ângulo de polarização**

$t_{\parallel}$  e  $t_{\perp}$  são sempre maiores do que 1!!! (por F4 e F2)

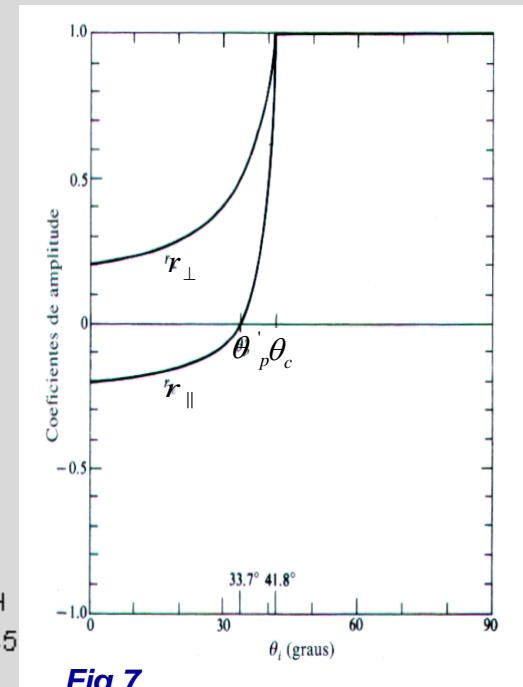
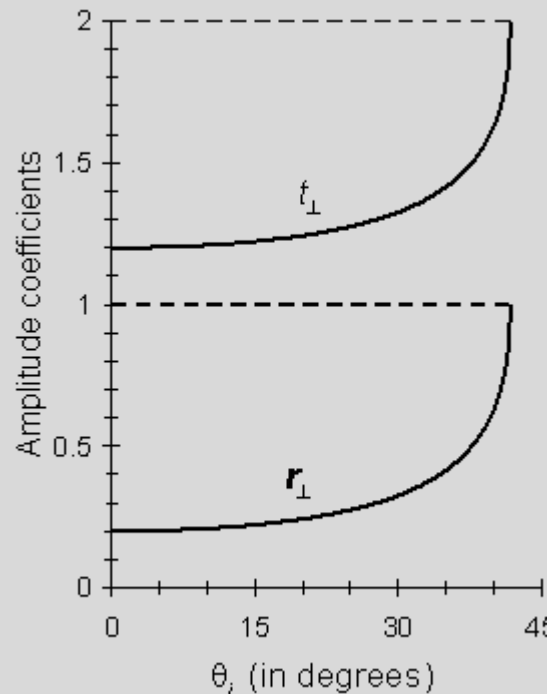


Fig.7

Discutir, comentar

# ÓTICA ONDULATÓRIA

## 4. Propagação da Radiação Eletromagnética – Equações de Fresnel

### ➤ Análise das variações de fase que ocorrem na reflexão

*Incidência externa*

$$n_t > n_i$$

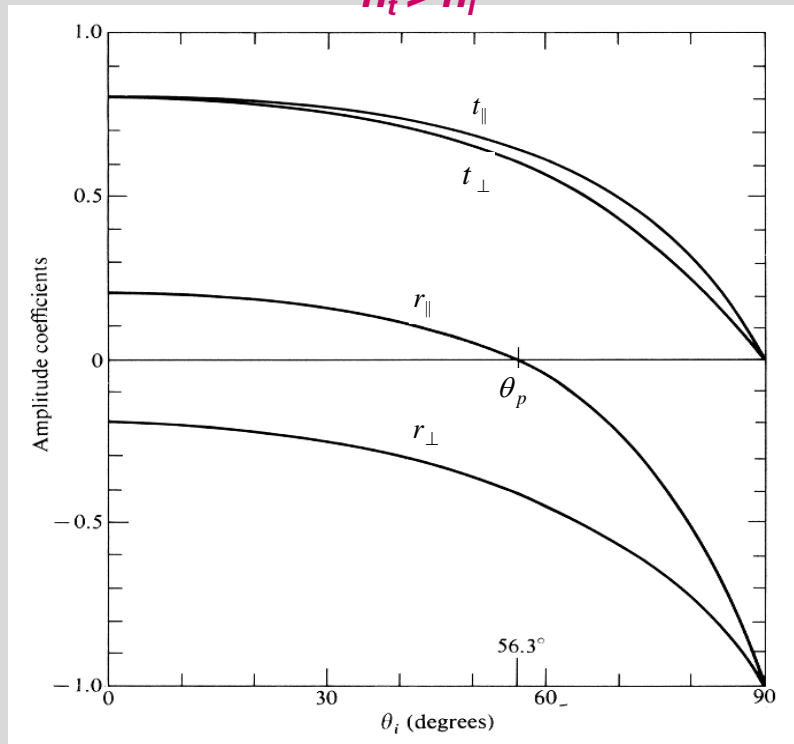


Fig.6

*Incidência interna*

$$n_i > n_t$$

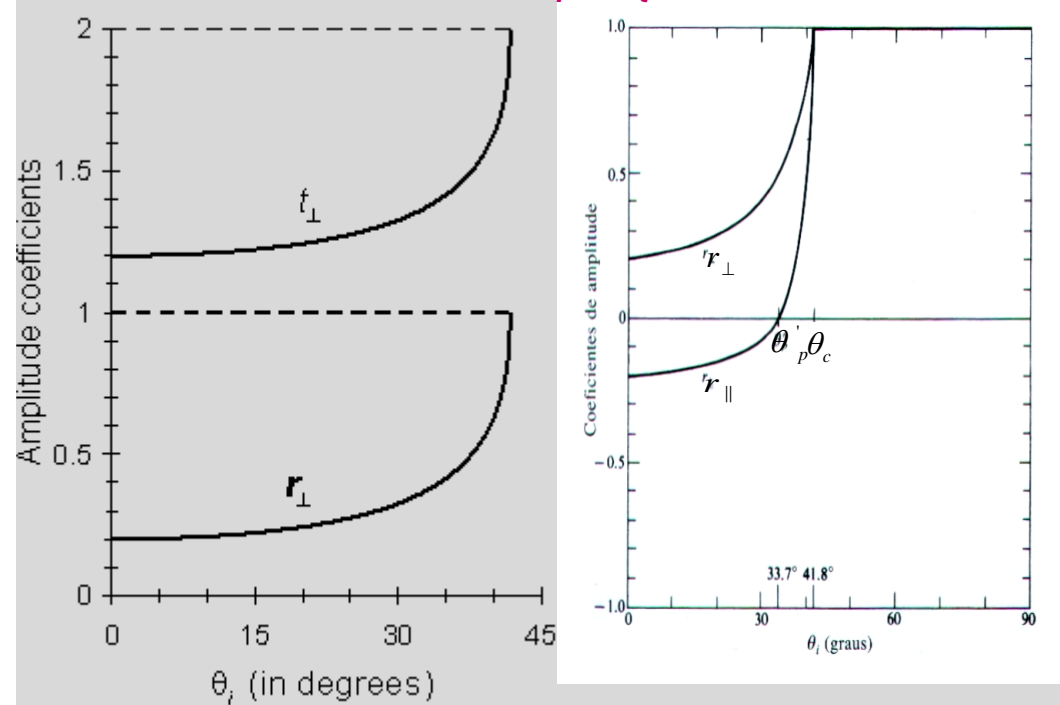


Fig.7

# ÓTICA ONDULATÓRIA

## 4. Propagação da Radiação Eletromagnética – Equações de Fresnel

### ➤ Análise das variações de fase que ocorrem na reflexão

- 1) Os coeficientes de transmissão em amplitude,  $t_{\perp}$  e  $t_{\parallel}$ , quer se trate de  $n_t > n_i$  (para qualquer valor de  $\theta_i$ ) ou de  $n_i > n_t$  (para  $\theta_i < \theta_c$ ) são sempre positivos, ou seja, não existe nenhuma troca de sinal (nenhuma variação de fase) nem no valor da amplitude de  $(E_{ot})_{\perp}$  nem no de  $(E_{ot})_{\parallel}$  relativamente ao valor de  $E_{oi}$ .

**A refração (transmissão) ocorre sem qualquer variação de fase na interface**

Analisemos agora o sinal de  $(E_{or})_{\parallel}$  e de  $(E_{or})_{\perp}$  relativamente a  $(E_{oi})_{\parallel}$  e a  $(E_{oi})_{\perp}$ . Temos de distinguir a situação de reflexão externa da de reflexão interna.

- 2) Na **reflexão externa** ( $n_t > n_i$ ) já vimos que  $r_{\perp}$  é sempre negativo, qualquer que seja o valor de  $\theta_i$ , ou seja, **na reflexão externa o sinal de  $(E_{or})_{\perp}$  é sempre contrário ao sinal de  $(E_{oi})_{\perp}$** , logo, a componente perpendicular ao plano de incidência do campo elétrico refletido  $(E_{or})_{\perp}$ , **sofre uma variação de fase de  $\pi$ , na interface.**
- 3) Na **reflexão interna** ( $n_i > n_t$ ),  $r_{\perp}$  é positivo até  $\theta_i = \theta_c$ , ou seja, **o sinal de  $(E_{or})_{\perp}$  é igual ao sinal de  $(E_{oi})_{\perp}$** , logo, a componente perpendicular ao plano de incidência do campo elétrico refletido  $(E_{or})_{\perp}$ , **não sofre qualquer variação de fase na interface, para  $\theta_i < \theta_c$ .**

Fig 8(a)

Fig 8(a)



# ÓTICA ONDULATÓRIA

## 4. Propagação da Radiação Eletromagnética – Equações de Fresnel

### ➤ Análise das variações de fase que ocorrem na reflexão

A análise da variação de fase na componente do campo elétrico refletida na direção paralela ao plano de incidência  $(E_{or})_{||}$  vai-se fazer numa forma idêntica, distinguindo a situação de **reflexão externa** da de **reflexão interna**.

Fig 8(b) 4) Na **reflexão externa** ( $n_t > n_i$ ),  $r_{||}$  é positivo até  $\theta_i = \theta_p$  e passa depois a negativo, ou seja, na **reflexão externa** o sinal de  $(E_{or})_{||}$  é igual ao de  $(E_{oi})_{||}$  até  $\theta_i = \theta_p$  e depois passa a ser contrário, logo, a componente paralela ao plano de incidência do campo elétrico refletido  $(E_{or})_{||}$  **não sofre qualquer variação de fase para  $0 < \theta_i < \theta_p$  e sofre uma variação de fase de  $\pi$  para  $\theta_i > \theta_p$ .**

Fig 8(c) 5) Na **reflexão interna** ( $n_i > n_t$ ), o coeficiente  $r_{||}$  é negativo até  $\theta_i = \theta_p$  e passa a positivo quando  $\theta_p < \theta_i < \theta_c$  (para  $\theta_i > \theta_c$   $r_{||}$  é complexo) ou seja a componente paralela ao plano de incidência do campo elétrico refletido  $(E_{or})_{||}$ , **sofre uma variação de fase de  $\pi$  para  $\theta_i < \theta_p$  e não sofre qualquer variação de fase para  $\theta_p < \theta_i < \theta_c$ .**

Nos casos de **reflexão interna**, os coeficientes  $r_{\perp}$ ,  $r_{||}$ ,  $t_{\perp}$  e  $t_{||}$  são complexos, para  $\theta_i > \theta_c$ . Pode-se mostrar que, nestas condições, existe uma variação de fase de  $\pi$ , lenta e contínua, desde  $\theta_i = \theta_c$  até  $90^\circ$ , como se mostra nas figuras juntas.

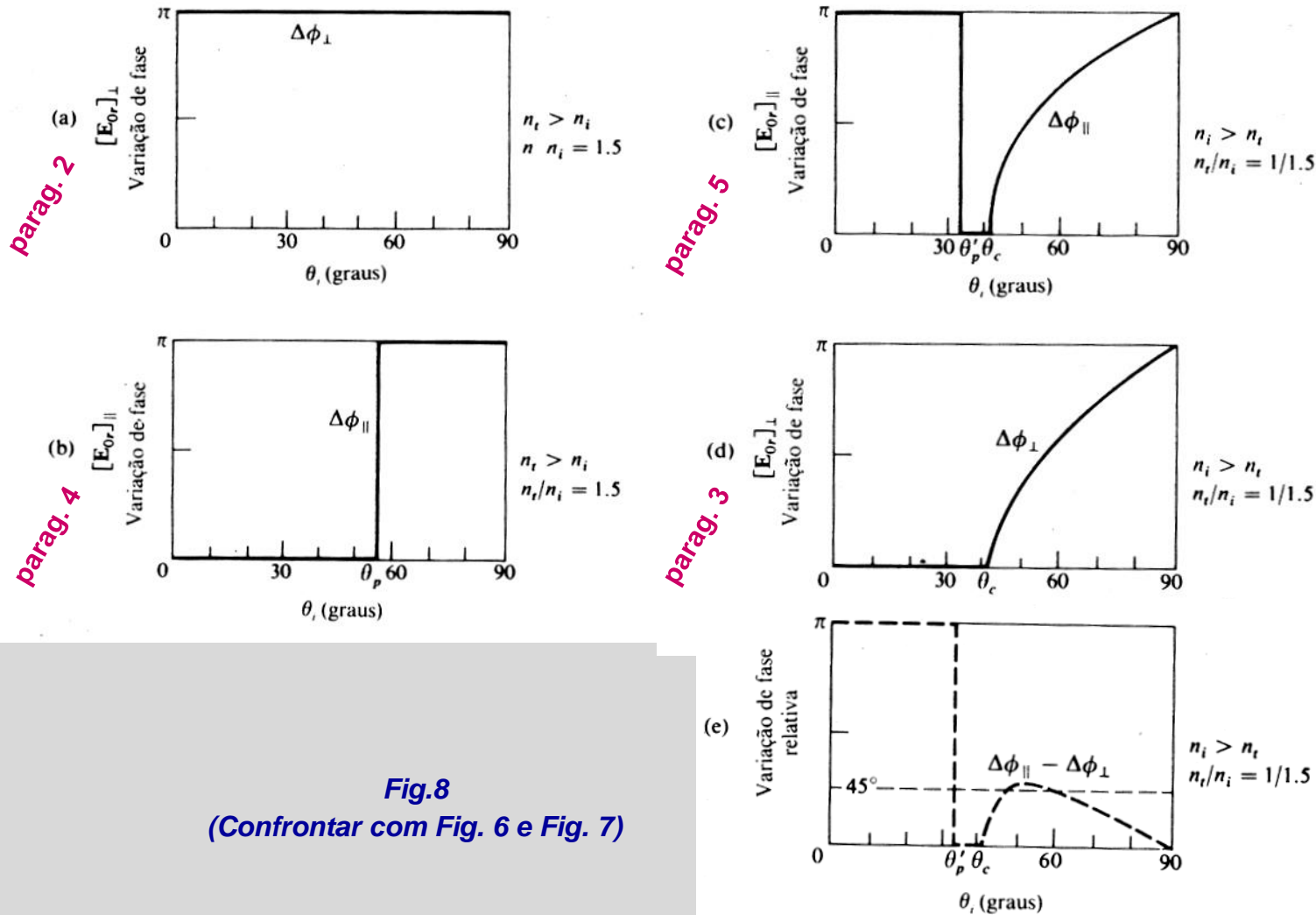
# ÓTICA ONDULATÓRIA

## 4. Propagação da Radiação Eletromagnética – Equações de Fresnel

### ➤ Análise das variações de fase que ocorrem na reflexão

#### Reflexão Externa

#### Reflexão Interna



# ÓTICA ONDULATÓRIA

## 4. Propagação da Radiação Eletromagnética – Equações de Fresnel

### ➤ Análise das variações de fase que ocorrem na reflexão

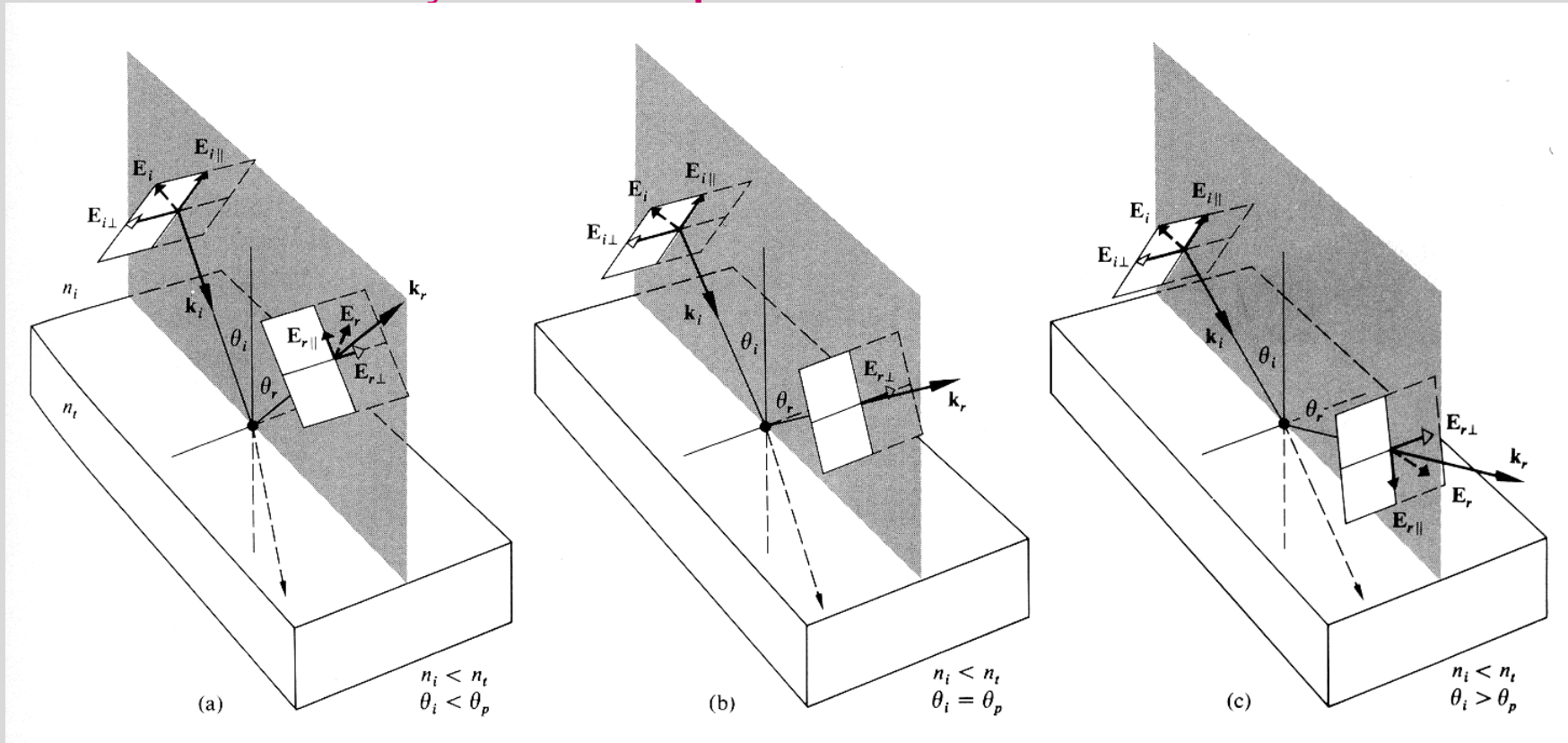


Fig.9 Campo eléctrico  $E$  refletido para vários ângulos, em situações de **reflexão externa**

# ÓTICA ONDULATÓRIA

## 4. Propagação da Radiação Eletromagnética – Equações de Fresnel

### ➤ Análise das variações de fase que ocorrem na reflexão

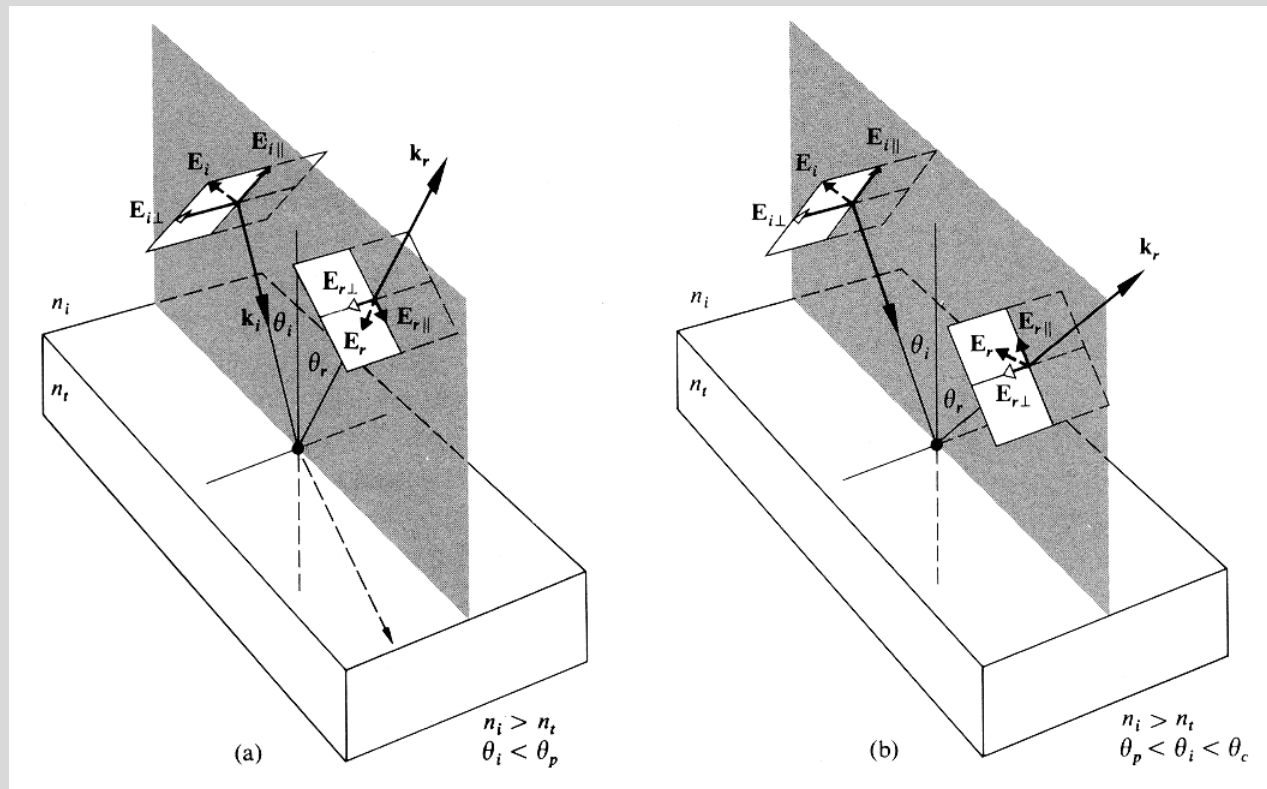


Fig.10 Campo eléctrico  $E$  refletido para vários ângulos, em situações de **reflexão interna**

# ÓTICA ONDULATÓRIA

## 4. Propagação da Radiação Eletromagnética – Equações de Fresnel

### ➤ Refletância e Transmitância

Já definimos **irradiância (potência por unidade de área)** :

$$I = \langle S \rangle = \frac{c^2 \epsilon_0}{2} E_0 B_0 = \frac{c \epsilon_0}{2} E_0^2 = \frac{c}{2 \mu_0} B_0^2$$

$$I = \langle S \rangle = c \epsilon_0 E_{qm}^2 = \frac{c}{\mu_0} B_{qm}^2$$

(ver slide 39  
do capítulo  
anterior)

Considere-se um feixe de luz, de secção circular, a incidir sobre uma dada interface.

Sendo  $A$  a área da interface iluminada, as áreas das secções dos feixes incidente, refletido e refratado são respetivamente,  $A \cos \theta_i$ ,  $A \cos \theta_r$  e  $A \cos \theta_t$ .

Então a **potência incidente, refletida e refratada** será  $I_i A \cos \theta_i$ ,  $I_r A \cos \theta_r$  e  $I_t A \cos \theta_t$ .

**Define-se refletância  $R$  como a razão entre a potência refletida e incidente.**

$$R = \frac{I_r \cos \theta_r}{I_i \cos \theta_i} = \frac{I_r}{I_i}$$

**Define-se transmitância  $T$  como a razão entre a potência transmitida e incidente.**

$$T = \frac{I_t \cos \theta_t}{I_i \cos \theta_i}$$

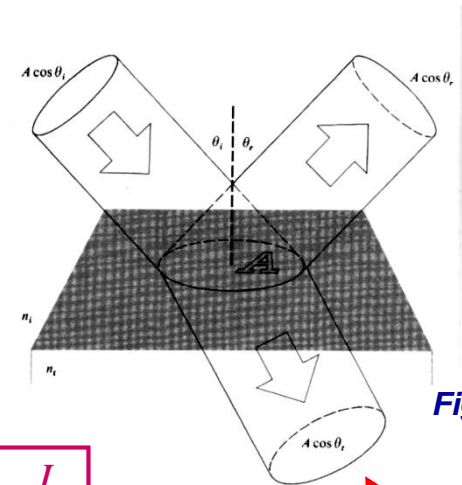


Fig.11



# ÓTICA ONDULATÓRIA

## 4. Propagação da Radiação Eletromagnética – Equações de Fresnel

### ➤ Refletância e Transmitância

Sendo  $I_i = \frac{v_i \varepsilon_i}{2} E_{0i}^2$  ,  $I_r = \frac{v_r \varepsilon_r}{2} E_{0r}^2$   
e  $v_r = v_i$  ,  $\varepsilon_r = \varepsilon_i$  (mesmo meio)

$$R = \frac{E_{0r}^2}{E_{0i}^2} = r^2$$

Para a transmitância  $I_t = \frac{v_t \varepsilon_t}{2} E_{0t}^2$

e então  $T = \frac{v_t \varepsilon_t}{v_i \varepsilon_i} \frac{E_{0t}^2}{E_{0i}^2} \frac{\cos \theta_t}{\cos \theta_i} = \frac{n_t \cos \theta_t}{n_i \cos \theta_i} \left( \frac{E_{0t}}{E_{0i}} \right)^2$

$$T = \frac{n_t \cos \theta_t}{n_i \cos \theta_i} t^2$$

onde se fez  $\mu_i = \mu_t = \mu_0$

Pelo princípio de conservação de energia,  $I_i A \cos \theta_i = I_r A \cos \theta_i + I_t A \cos \theta_t$

substituindo  $I$  pelas respectivas expressões e atendendo a que  $n = \frac{c}{v}$ ;  $v = \frac{1}{\sqrt{\varepsilon}}$

$$n_i E_{0i}^2 \cos \theta_i = n_i E_{0r}^2 \cos \theta_i + n_t E_{0t}^2 \cos \theta_t$$

$$1 = \frac{E_{0r}^2}{E_{0i}^2} + \frac{n_t \cos \theta_t}{n_i \cos \theta_i} \frac{E_{0t}^2}{E_{0i}^2} \rightarrow 1 = R + T$$

(para os casos em que não existe absorção)

# ÓTICA ONDULATÓRIA

## 4. Propagação da Radiação Eletromagnética – Equações de Fresnel

### ➤ Refletância e Transmitância

Decompondo  $\mathbf{R}$  e  $\mathbf{T}$  nas componentes paralela e perpendicular tem-se

podendo-se ver que

$$\begin{aligned} R_{\perp} + T_{\perp} &= 1 \\ R_{\parallel} + T_{\parallel} &= 1 \end{aligned}$$

Nas figuras juntas representa-se  $R_{\perp}$  e  $T_{\perp}$  e  $R_{\parallel}$  e  $T_{\parallel}$  para  $n_i=1$  e  $n_t=1.5$

Quando  $\theta_i = 0$ , o plano de incidência é indeterminado. Nesse caso tem-se

$$R = R_{\parallel} = R_{\perp} = \frac{(n_t - n_i)^2}{(n_t + n_i)^2} \quad (\text{por } F1 \text{ e } F3)$$

$$T = T_{\parallel} = T_{\perp} = \frac{4n_i n_t}{(n_t + n_i)^2} \quad (\text{por } F2 \text{ e } F4)$$

$$\begin{aligned} R_{\perp} &= r_{\perp}^2; & T_{\perp} &= \frac{n_t \cos \theta_t}{n_i \cos \theta_i} t_{\perp}^2 \\ R_{\parallel} &= r_{\parallel}^2; & T_{\parallel} &= \frac{n_t \cos \theta_t}{n_i \cos \theta_i} t_{\parallel}^2 \end{aligned}$$

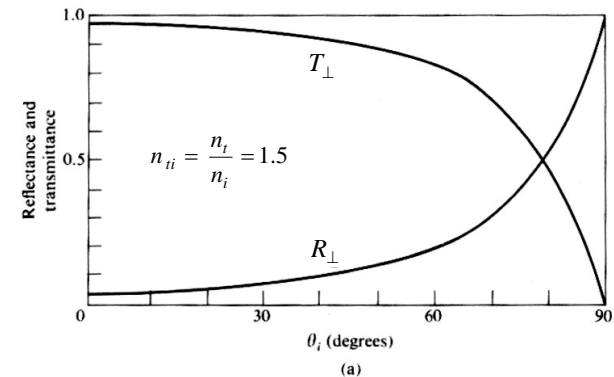
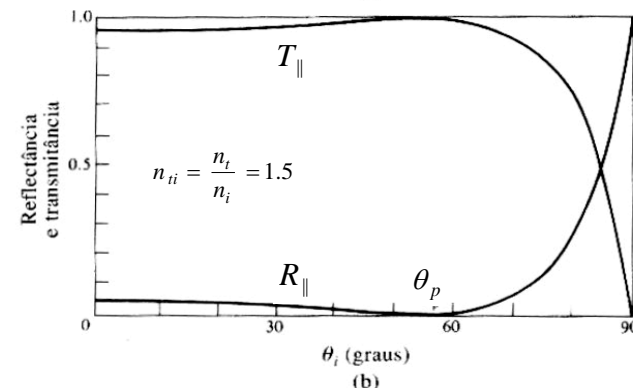


Fig.12



# ÓTICA ONDULATÓRIA

## 4. Propagação da Radiação Eletromagnética – Equações de Fresnel

### ➤ Transmissão de uma lente

$$T = t_1 \cdot t_2 \cdot T_i$$

Em que  $t_1$  e  $t_2$  são as transmitâncias nas duas faces da lente e  $T_i$  a chamada transmitância interna que é função do coeficiente de absorção,  $\mu$ , do material de que é feita a lente:

$$T_i = e^{-\mu x}$$

em que  $x$  é a espessura central da lente.

